

ПЛЕНКИ *a*-Si:H, ОСАЖДЕННЫЕ ПРИ ПОВЫШЕННЫХ ТЕМПЕРАТУРАХ МЕТОДОМ РАЗЛОЖЕНИЯ СИЛАНА НА ПОСТОЯННОМ ТОКЕ В МАГНИТНОМ ПОЛЕ

© О.А. Голикова, А.Н. Кузнецов, В.Х. Кудоярова, М.М. Казанин

Физико-технический институт им. А.Ф. Иоффе Российской академии наук,
194021 Санкт-Петербург, Россия

(Получена 21 декабря 1995 г. Принята к печати 27 декабря 1995 г.)

Метод разложения силана на постоянном токе в магнитном поле впервые испытан для получения пленок нелегированного *a*-Si:H при температурах осаждения $300 \div 400^\circ\text{C}$. Показано, что оптимизация параметров процесса позволяет получить материал приборного качества с содержанием водорода до 2 ат%. Примененный метод обеспечивает варьирование значения микроструктурного параметра R , характеризующего соотношение SiH- и SH₂-связей, в интервале 0–1.0.

1. Введение

В нашей предыдущей работе [1] были представлены результаты исследований пленок *a*-Si:H, осажденных при повышенных температурах $T_s = 300 \div 400^\circ\text{C}$ методом высокочастотного разложения силана (методом тлеющего разряда). Целью работы было получение нелегированного материала приборного качества с пониженным содержанием водорода (C_{H}). В последние годы этому вопросу уделялось значительное внимание [2–8] в связи с проблемой стабильности фотоэлектрических свойств *a*-Si:H под влиянием внешних воздействий, особенно при интенсивной засветке. Тем не менее однозначной корреляции между величинами предельной плотности фотоиндцированных дефектов (N_{sat}) и C_{H} до сих пор установлено не было. По-видимому, при $C_{\text{H}} = \text{const}$ для эффекта Стаблера–Вронского существенны и такие характеристики структурной сетки, как характер Si–H-связей [9], локальная микроструктура (наличие микропор) [10] и др., которые могут зависеть от метода осаждения пленки. Поэтому сравнение данных о стабильности пленок *a*-Si:H, полученных различными методами [1–10], представляет затруднительным. Исходя из этого, в развитие работы [1], мы испытали метод разложения силана на постоянном токе (*dc*-разложение) в магнитном поле [11, 12], который, как ожидалось, сможет обеспечить варьирование структурных и электронных параметров *a*-Si:H в более широких пределах, чем метод тлеющего разряда.

2. Методика эксперимента

Пленки $a\text{-Si:H}$ получали в стандартном реакторе, предназначенном для магнетронного распыления (рис. 1), однако вместо аргон-водородной смеси использовали аргон-силановую смесь (magnetron assisted silane decomposition — MASD [11,12]). В [11,12] MASD успешно использовали для получения сплавов $a\text{-Si:H}$ с Ge, Sn и C.

Вариации величин T_s , анодного напряжения, потенциала держателя подложки относительно катода, магнитного поля, давления, скорости прокачки и состава газовой смеси, а также введение дополнительного электрода (сетки) при варьировании ее потенциала относительно держателя подложки действительно открывают возможности широкого изменения условий осаждения пленок $a\text{-Si:H}$ и, в свою очередь, широкого изменения их параметров.

В настоящей работе при получении пленок параметры процесса были следующие: газ $25\% \text{SiH}_4 + 75\% \text{Ar}$, магнитное поле 500 Гс , анодное напряжение $200 \div 600 \text{ В}$, удельная мощность разряда $W = 0.1 \div 1.0 \text{ Вт}/\text{см}^2$, давление газа $P = (2.5 \div 7.0) \cdot 10^{-3} \text{ мм рт. ст.}$.

Ряд экспериментов был проведен при наличии сетки, специально введенной в реактор. Сетка находилась под плавающим потенциалом, расстояния сетка-подложка и сетка-катод равнялись соответственно 15 и 35 мм. Скорости осаждения пленок были $0.4 \div 2 \text{ \AA}/\text{с.}$

Толщины пленок составляли $0.6 \div 1.0 \text{ мкм}$, коэффициент преломления находился в пределах $n = 3.04 \div 3.25$.

Содержание водорода в пленках определяли методом инфракрасной (ИК) спектроскопии (анализировали полосу при 630 см^{-1}). Микроструктурный параметр определяли как $P = I_{2090}/(I_{2000} + I_{2090})$, где I_{2000} и I_{2090} — интенсивности полос при 2000 и 2090 см^{-1} , характеризующие соответственно вклады связей типов SiH и SiH_2 .

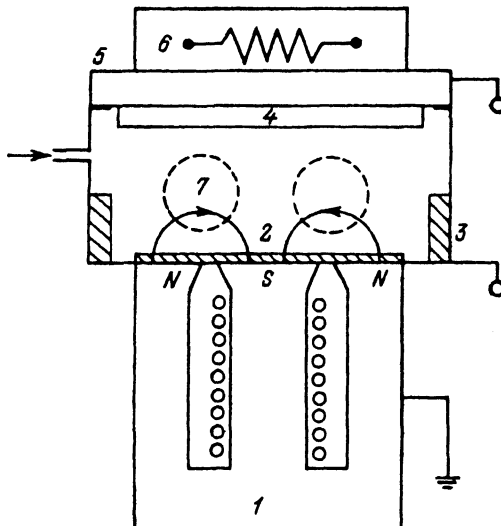


Рис. 1. Схема реактора: 1 — электромагнит, 2 — Si-диск (катод), 3 — цилиндрический анод, 4 — подложка, 5 — держатель подложки, 6 — нагреватель подложки, 7 — зона скрещенных электрического и магнитного полей.

Были исследованы температурные зависимости темновой проводимости (σ_d) и фотопроводимости (σ_{ph}). Перед измерениями образцы отжигались в вакууме при 200°C в течение 0.5 ч. Величина σ_{ph} измерялась в потоке фотонов излучения $\Phi = 10^{15} \text{ см}^{-2} \cdot \text{с}^{-1}$ с энергией фотона $h\nu = 2 \text{ эВ}$.

Положения уровня Ферми в щели подвижности определяли, используя величины σ_d , измеренные при комнатной температуре, и известную формулу $\varepsilon_c - \varepsilon_f = kT \ln (\sigma_0 / \sigma_d)$, где $T = 300 \text{ K}$, $\sigma_0 = 150 \Omega \cdot \text{см}^{-1}$. Величина зазора между зоной проводимости и уровнем Ферми $\varepsilon_c - \varepsilon_f$ при 0 K равна, как известно, энергии активации σ_d (ΔE).

Плотность дефектов (N_D) определялась на основе анализа спектра «дефектного» поглощения, измеряемого методом постоянного фототока (CPM). Метод CPM позволил также определить параметр Урбаха (E_U).

3. Результаты экспериментов и обсуждение

Рассмотрим зависимости σ_d , измеренной при комнатной температуре, и ΔE от температуры осаждения пленки (рис. 2). Разброс точек обусловлен вариациями параметров осаждения пленок (см. разд. 2), которые проводились с целью выбора оптимального режима процесса. Тем не менее видно, что в данном случае не наблюдается резкого возрастания σ_d и падения ΔE с ростом T_s , характерных для $a\text{-Si:H}$, полученного стандартным методом тлеющего разряда в диодном реакторе [1, 13] (см. рис. 2). В среднем, независимо от T_s , $\sigma_d \approx 10^{-10} \Omega^{-1} \cdot \text{см}^{-1}$, а $\Delta E \approx 0.85 \text{ эВ}$. Рассчитанная, исходя из этого значения σ_d , величина зазора $\varepsilon_c - \varepsilon_f$ при 300 K составляет 0.72 эВ . Эти данные очень близки к данным для пленок $a\text{-Si:H}$, полученных методом тлеющего разряда в триодном реакторе [1]. Величина зазора $\varepsilon_c - \varepsilon_f = 0.72 \text{ эВ}$ отвечает минимальной плотности дефектов $N_D = 10^{16} \text{ см}^{-3}$ и величине параметра Урбаха $E_U = 55 \text{ мэВ}$.

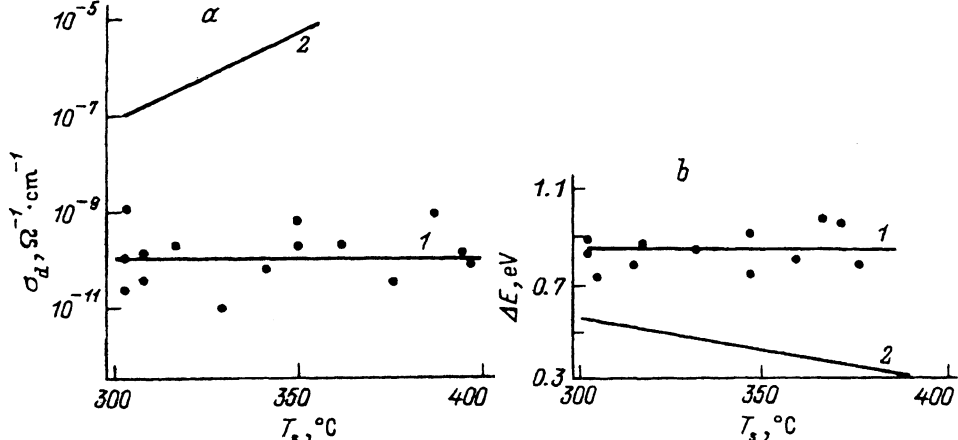


Рис. 2. Темновая проводимость при 300 K (a) и энергия активации темновой проводимости (b) в зависимости от температуры осаждения пленки. 1 — настоящая работа, 2 — [13].

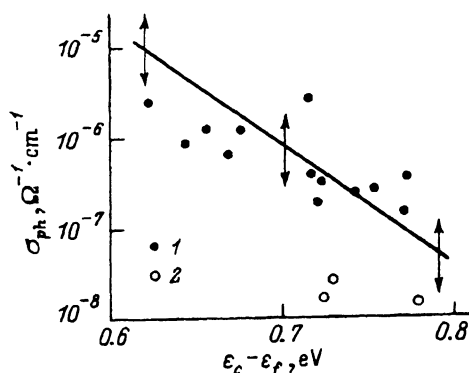


Рис. 3. Фотопроводимость в зависимости от положения уровня Ферми в щели подвижности в пленках $a\text{-Si:H}$ с $R < 1$ (1) и $R = 1$ (2). $T = 300\text{ K}$, $h\nu = 2\text{ eV}$, $\Phi = 10^{15}\text{ см}^{-2} \cdot \text{с}^{-1}$.

Рассмотрим фотопроводимость при $T = 300\text{ K}$ в зависимости от $\epsilon_c - \epsilon_f$ (рис. 3). Прямая, приведенная на том же рисунке, отвечает усредненным данным для пленок $a\text{-Si:H}$, полученных методом тлеющего разряда, стрелки показывают обычно наблюдаемый их разброс. Из рис. 3 следует хорошее, за некоторым исключением, согласие данных по фотопроводимости $a\text{-Si:H}$, полученного методом тлеющего разряда и методом dc -разложения силана в магнитном поле.

Таким образом, в настоящей работе получен материал приборного качества при $T_s = 300 \div 400^\circ\text{C}$ с оптимальными электронными параметрами: при 300 K $\epsilon_c - \epsilon_f = 0.72\text{ eV}$, $N_D = 10^{16}\text{ см}^{-3}$, $\mu\tau = 10^{-6}\text{ см}^2 \cdot \text{В}^{-1}$ ($\mu\tau$ — произведение подвижности на время жизни, определенное из σ_{ph} в предположении, что квантовый выход $\eta = 1$), $E_U = 55\text{ мэВ}$.

Минимальное содержание водорода в пленках, исследованных в настоящей работе, составляет $2 \div 3\text{ ат\%}$ (рис. 4). Минимальное содержание водорода в пленках, полученных методом тлеющего разряда, находится на том же уровне [1]. Однако пленки, исследованные в настоящей работе, отличаются тем, что при $T_s = 300 \div 400^\circ\text{C}$ микроструктурный параметр удается варьировать в диапазоне $R = 0 \div 1.0$, в то время как при использовании других методов осаждения $R \simeq 0$, когда $T_s > 300^\circ\text{C}$ [1].

Следует отметить, что высокие значения R обычно характерны для $a\text{-Si:H}$, полученного при низких температурах ($T_s < 200^\circ\text{C}$), когда величина C_H значительно превышает 10 ат\% . Здесь же мы имеем R , близкие к единице, на фоне низкого содержания водорода (до $2 \div 3\text{ ат\%}$). Поэтому указанные пленки представляют собой новые объекты как для дальнейших структурных исследований, так и для изучения взаимосвязей между структурой и электронными свойствами $a\text{-Si:H}$.

Пленки такого типа, полученные при $T_s = 350$ и 380°C , апробировались методом оптической модуляционной спектроскопии в университете г. Лёвен (Leuven), Бельгия. Сделано заключение, что в отношении плотности дефектов они находятся на уровне пленок приборного качества, полученных методом тлеющего разряда при $T_s = 200 \div 250^\circ\text{C}$ [14].

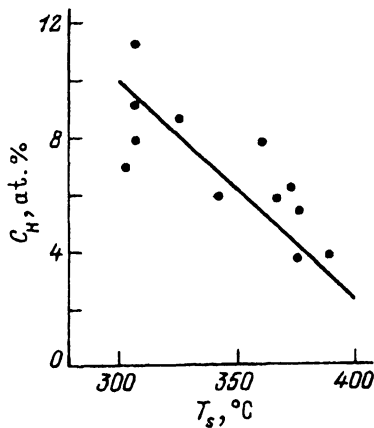


Рис. 4. Содержание водорода в пленке в зависимости от температуры осаждения.

Однако для пленок, имеющих $R = 1$, характерно некоторое увеличение протяженности хвостов зон. Это, по-видимому, является причиной снижения их фотопроводимости при $\epsilon_c - \epsilon_f = \text{const}$ (рис. 3).

Возвращаясь к проблеме стабильности, следует подчеркнуть, что варьирование R в максимально возможных пределах при $C_H = \text{const}$ создает основу для дальнейших исследований влияния характера Si-H-связей на образование фотоиндцированных дефектов.

Настоящая работа поддержана грантом INTAS N 931916. Апробация пленок $a\text{-Si:H}$ в университете г. Лёвен (Бельгия), а также некоторые измерения их электрических параметров в Московском государственном университете проводились в соответствии с Программой сотрудничества, предусмотренной этим грантом.

Список литературы

- [1] О.А. Голикова, М.М. Казанин, О.И. Коньков, В.Х. Кудоярова, Е.И. Теруков. ФТП, **30**, 405 (1996).
- [2] G. Ganguly, A. Matsuda. Phys. Rev. B, **47**, 3881 (1993).
- [3] U. Kroll, J. Maier, M. Goetz, A. Howling, J.-L. Dorier, J. Dutla, A. Shah, Ch. Hollenstein. J. Non-Cryst. Sol., **164-166**, 59 (1993).
- [4] N.M. Johnson, P.V. Santos, C.E. Nebel, W.B. Jackson, R.A. Street, K.S. Stevens, J. Walker. J. Non-Cryst. Sol., **137/138**, 235 (1991).
- [5] V.L. Dalal, M. Leonard, G. Baldin. J. Non-Cryst. Sol., **164/166**, 71 (1993).
- [6] R. Zedlitz, F. Kessler, M. Heintze. J. Non-Cryst. Sol., **164/166**, 83 (1993).
- [7] M. Vanecek, B.P. Nelson, A.H. Mahan, R.S. Crandall. J. Non-Cryst. Sol., **137/138**, 191 (1991).
- [8] J.R. Liang, N. Maley, J.R. Abelson. J. Appl. Phys., **75**, 3704 (1994).
- [9] R. Meaudre, M. Meaudre, S. Vignoli, P. Roca i Cabarrocas, Y. Bouizem, M.L. Theve. Phil. Mag. B, **67**, 4978 (1993).
- [10] S.J. Jones, Y. Chen, D.L. Willamson, U. Kroll, P. Roca i Cabarrocas. J. Non-Cryst. Sol., **164/166**, 119 (1993).
- [11] F.D. Emichelinis, A. Tagliaferro. Phil. Mag. B, **61**, 867 (1990).
- [12] V. Marachonov, N.A. Rogachev, E.I. Terukov, J.T. Ishkalov, V.E. Chelnokov. J. Non-Cryst. Sol., **137/138**, 817 (1991).
- [13] R.M.A. Dawson, C.M. Fortmann, M. Gunes, Y.M. Li, S.S. Nag, R.W. Collins, C.R. Wrónski. Appl. Phys. Lett., **63**, 955 (1993).
- [14] W. Grevendonk, M. Verluyten, J. Dauwen, G.J. Adriaenssens, J. Bezemer. Phil. Mag. B, **61**, 393 (1990).

Редактор Л.В. Шаронова

a-Si:H films prepared at elevated temperatures by direct current magnetron assisted silane decomposition

O.A. Golikova, A.N. Kuznetsov, V.Kh. Kudoyarova, M.M. Kazanin

A.F. Ioffe Physicotechnical Institute, Russian Academy of Sciences,
194021 St. Petersburg, Russia

Direct current magnetron assisted silane decomposition technique has been tested for deposition of an undoped $a\text{-Si:H}$ at $300\div400^\circ\text{C}$. The process optimisation enables us to prepare a device-quality $a\text{-Si:H}$ with a low hydrogen content (up to 2 at %). This technique also ensures a wide-range variation of the microstructure parameter R characterizing the dehydrid to monohydrid form ratio of hydrogen-silicon bonds from 0 to 1.